



تقييم الخصائص الجيوتكنيكية لترابة موقع محطة كهرباء بيجي الغازية الثالثة ومسار الخط الاستراتيجي وتأثير التذبذب في منسوب المياه الجوفية: دراسة حالة في شمال محافظة صلاح الدين، العراق

سجي قحطان نصيف¹ ، محمد رشيد عبود² ، صبار عبد الله صالح³
قسم علوم الأرض التطبيقية، كلية العلوم، جامعة تكريت، تكريت، العراق.

الملخص

يهدف البحث الى تقييم الخصائص الجيوتكنيكية لنترسبات العصر الرياعي، لإقامة بعض المنشآت الهندسية إضافة الى دراسة تأثير تذبذب منسوب المياه الجوفية، والتباين بالهبوط الأرضي المحتمل الناتج عن سحب المياه الجوفية ومدى تأثير هذا التذبذب على الخواص الهندسية للترابة في منطقة بيجي/ شمال محافظة صلاح الدين لموقع محطة كهرباء بيجي الغازية الثالثة ومسار الخط الاستراتيجي، تراوحت نسب محتوى الرطوبة للنماذج بين (4.41 - 5.84 %) اما قيم الوزن النوعي فتراوحت بين (2.65 - 2.69)، ومن نتائج التحليل الحجمي وجد ان نسبة الطين والغرين هي الأعلى، تبين حسب مخطط اللدونة ان نوع التربة CL-ML ، بين فحص القص المباشر ان زاوية الاحتكاك الداخلي تراوحت بين (21°-22°) والتماسك بين (39-49 كيلو باسكال) وبينت نتائج فحص الانضمام ان التربة مفرطة . O.C.R من نتائج التحاليل الكيميائية لمحتوى الجبس كانت النسبة عالية ، كما انها تربة متعادلة القلوية ذات محتوى عضوي عالي وتحتوي على نسبة عالية من الكبريتات والكلوريدات والبيكاربونات و ان نسبة الاملاح تزيد عن نسبة (0.5%) وهي تعتبر عالية تم قياس الأعماق الى المياه الجوفية 11 بئر موزعة على منطقة الدراسة وأخذت عينات منها لأجراء التحاليل الكيميائية لها ، وبينت نتائج هذه التحاليل ان تصنيف المياه حسب قيمة (pH) متعادلة القلوية ومن نوع Brakish Water وحسب تصنيف المياه اعتمادا على قيم العسرة الكلية وجد أنها من النوع Hard وكذلك تم حساب الإجهادات الكلية والمتعادلة والفعالة لغرض حساب الهبوط الأرضي المحتمل الناتج عن سحب المياه الجوفية تراوحت نسبة الهبوط للترابة بين (0.200 - 0.275 سم). والخواص اعلاه تشير الى مشاكل هندسية في تربة منطقة الدراسة لذا يجب معالجتها قبل اقامة أي منشأ هندسي.

معلومات الارشيف

تاريخ الاستلام: 15-يناير-2024

تاريخ المراجعة: 10-ابril-2024

تاريخ القبول: 13-مايو-2024

تاريخ النشر الالكتروني: 01-ابril-2025

الكلمات المفتاحية:

الاجهادات

الهبوط

التحاليل الكيميائية

المياه الجوفية

المنشآت الهندسية

المراسلة:

الاسم: سجي قحطان نصيف

Email:sajaqahtan8@gmail.com

Assessment of the Geotechnical Properties of the Third Baiji gas Power Station Site Soil, Strategic Line Route and the Effect of Groundwater Level Fluctuation: A Case Study in Northern Salah Al-Din Governorate, Iraq

Saja kahtan Nsaef ^{1*} , Mohammed Rashid Abood ² , Sabbar Abdullah Saleh ³ 

^{1,2,3} Department of Applied Geology, College of Science, University of Tikrit, Tikrit, Iraq.

Article information

Received: 15- Jan -2024

Revised: 10- Apr -2024

Accepted: 13- May -2024

Available online: 01- Apr – 2025

Keywords:

Stresses
Subsidence
Chemical Analyzes
Groundwater
Engineering Facilities

Correspondence:

Name: Saja kahtan Nsaef

[Email:sajaqahtan8@gmail.com](mailto:sajaqahtan8@gmail.com)

ABSTRACT

The research aims to evaluate the geotechnical properties of the Quaternary deposits, for the establishment of some engineering facilities in addition to studying the effect of groundwater level fluctuation and predicting the possible subsidence resulting from groundwater withdrawal and impact of this oscillation on the engineering properties of the soil in the Baiji / North Salah al-Din Governorate for the site of Baiji gas power station power station and the path of the strategic line, and the soil moisture changes, the moisture content ratios of the samples ranged between (4.41-5.84%) Specific gravity values ranged between) 2.65-2.69) and from the results of the Grain size analysis of soil, the percentage of clay and silt was found to be the highest, and based on the plasticity chart, it was found that the type of soil CL- ML, ML, the direct shear test showed that the angle of internal friction ranged between (21°-22°) cohesion strength between (39-49 kPa) and the results of the Consolidation Test showed that the soil is over Consolidation O.C.R. From the results of chemical analyses gypsum content was a high percentage, neutral alkaline soil with a high organic content and a high percentage of sulfates, chlorides, and bicarbonates, and the percentage of dissolved salts exceeds (0.5%), which is considered high, The depths to the groundwater of 11 wells were measured and distributed over the study area and samples were taken from them Chemical analyses, and the results of these analyses showed that the classification of water according to the value of (pH) neutral alkalinity and Brakish Water type, and according to the classification of water depending on the values of the total hardness, it was found that it is of the Very Hard type, as well as the stresses were calculated. Total, neutral, and effective for calculating the possible ground subsidence resulting from groundwater withdrawal, the percentage of subsidence of the soil ranged between (0.200 - 0.275 cm), and the above properties indicate engineering problems in the soil of the study area so they must be addressed before the establishment of any engineering facility.

DOI: [10.33899/earth.2024.146117.1220](https://doi.org/10.33899/earth.2024.146117.1220), ©Authors, 2025, College of Science, University of Mosul.

This is an open access article under the CC BY 4.0 license (<http://creativecommons.org/licenses/by/4.0/>).

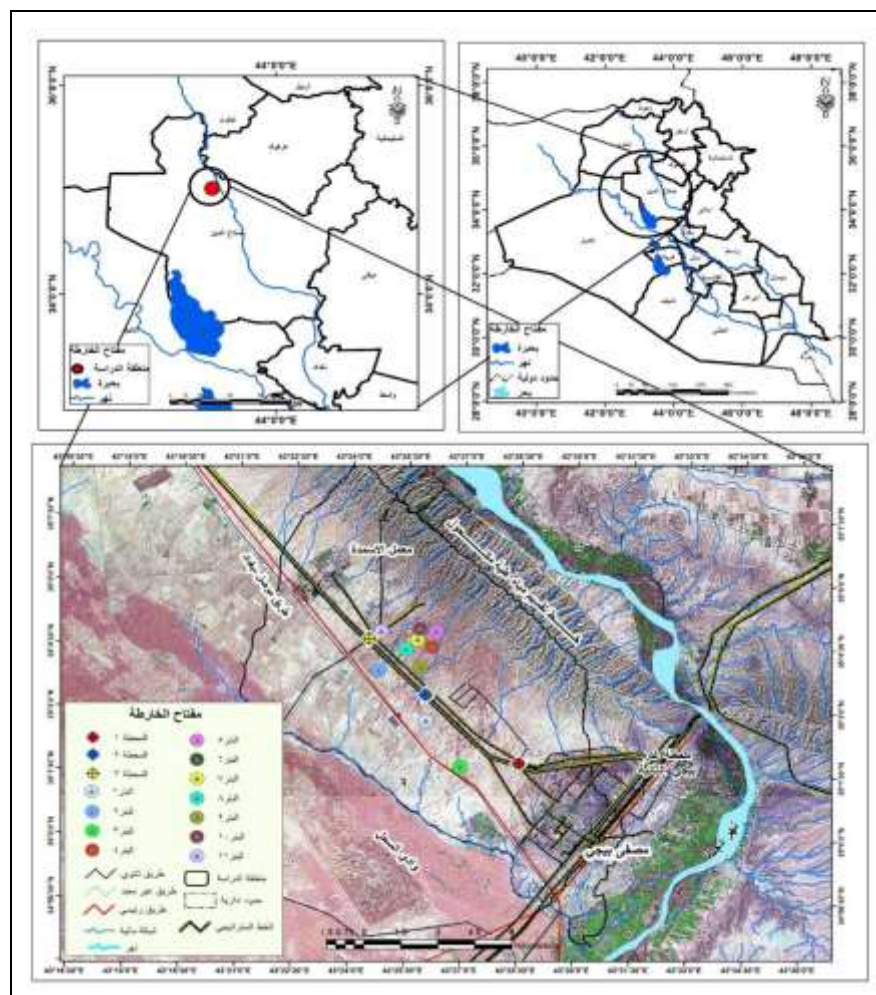
المقدمة Introduction

ان التقييم الجيوتكنيكى يعد الخطوة الأساسية الأولى في أي مشروع هندسي، والغرض منه هو تحقيق أعلى نسبة من الأمان والاقتصادية في أي تصميم يراد تفزيذه، إذ ان التربة مهمة جداً من الناحية الهندسية، بسبب تحملها للأساسات المختلفة، إذ يجب ضمان عدم فشلها تحت تأثير الأحمال المسلطة عليها، لذا يتوجب القيام بالفحوصات الضرورية، وأخذها بنظر الاعتبار أثناء تصميم المشاريع الهندسية (AL-Rashdi, 2004)، ويلعب الماء الموجود داخل التربة دوراً في حساب الإجهادات، وإن أي حمل يسلط على التربة يتوزع على حبيبات التربة والماء الموجود في الفجوات، كذلك فالماء لا يسهم بتحمل أي نسبة من هذا الحمل عندما تكون التربة غير مشبعة، أما عندما تكون التربة مشبعة فإن الماء داخل الفجوات سيتحمل جزءاً من هذا الحمل، لذا تتغير الإجهادات داخل التربة عند سحب المياه الجوفية، إذ إن مصدر التحميل أو زيادة الأحمال يأتي من ان التربة التي كانت تحت مستوى الماء الجوفي سوف تكون عند نزول منسوب الماء

(W.T) فوقه، وبهذا فان مثل هذه الطبقات لن تعود مغمورة بواسطة الماء في تلك المنطقة وهذا يعمل على زيادة القل Load لكل الطبقات التحتية وبالتالي يؤدي الى الاهبوط (Ranjan, 2016)، ان تعرض الأسس للمياه الجوفية الحاوية على املاح تأكلية يهدد سلامة المنشآت اذ يؤدي الى تأكل الخرسانة وضعفها عن طريق مهاجمة هذه الاملاح للأساس الكونكريتي، ان وجود الجبس في المنطقة يعني ان المياه الجوفية حاوية على الكبريتات والتي لها تأثير تأكلـي، (Barazanji, 1972) وبالتالي قد تؤدي الى التأكل في نطاق الأساس.

موقع منطقة الدراسة

تقع منطقة الدراسة شمال محافظة صلاح الدين، في مدينة بيجي، على الجناح الجنوبي الغربي لطية مكحول بين خط طول ($30^{\circ} 30' 30''$) و($32' 30''$) شرقاً ودائرة عرض ($30^{\circ} 00''$) و ($34^{\circ} 58' 30''$) شمالاً، وكما في الشكل (1).



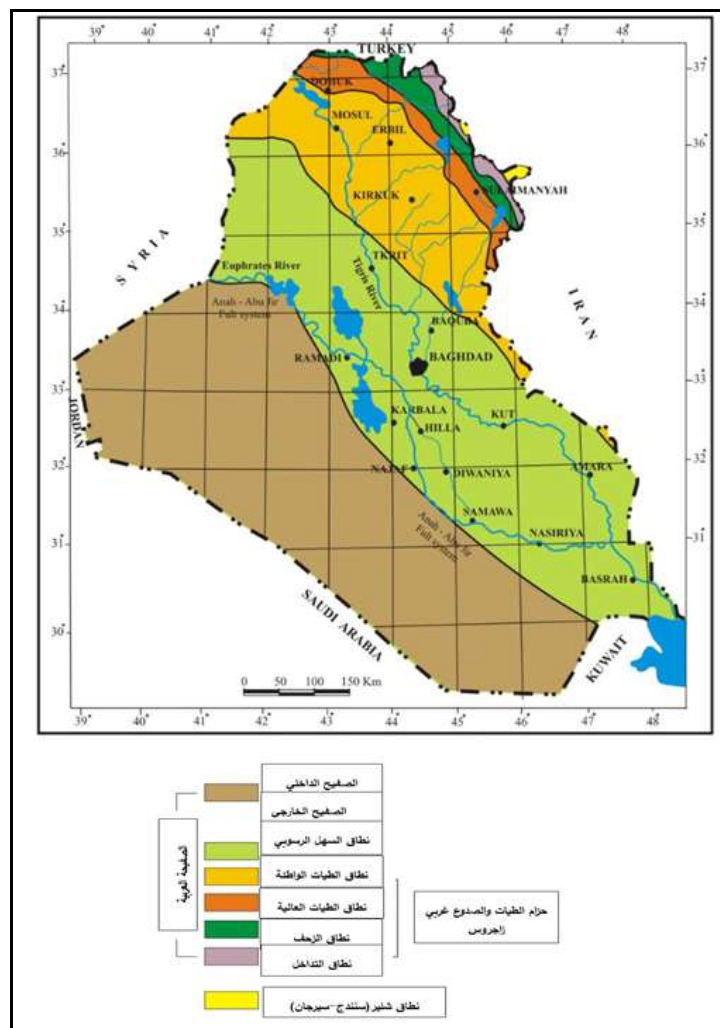
الشكل 1. خارطة توضح منطقة الدراسة.

الهدف من الدراسة

تهـدـف الـدـرـاسـة إـلـى إـجـراء تـقـيـم جـيـوـتـكـنـيـكي لـلـتـرـبة فـي اـمـتدـادـ الخطـ السـتـرـاتـيـجي وـتصـنـيفـها وـفقـ المـواـصـفـاتـ الـقـيـاسـيـةـ لـغـرـضـ إـقـامـةـ بـعـضـ الـمـنـشـآـتـ الـهـنـدـسـيـةـ الـجـدـيـدةـ اوـ تـطـوـيرـ خـطـوطـ اـنـابـيبـ النـقـلـ الـقـدـيمـةـ، وـعـرـفـةـ صـلـاحـيـتـهاـ لـتـحـقـيقـ أـعـلـىـ نـسـبـةـ مـنـ الـأـمـانـ فـيـ أيـ تـصـمـيمـ هـنـدـسـيـ يـرـادـ تـنـفـيـذهـ، وـتـقـيـمـ نـوـعـيـةـ الـمـيـاهـ جـوـفـيـةـ مـنـ خـلـالـ إـجـراءـ تـحـلـيـلـاتـ الـكـيـمـيـائـيـةـ لـلـأـيـونـاتـ السـالـبـةـ وـالـمـوجـبـةـ الرـئـيـسـيـةـ وـالـثـانـيـةـ، وـمـدـىـ تـأـثـيرـ هـذـهـ الـخـصـائـصـ عـلـىـ تـرـبةـ نـطـاقـ الـأسـاسـ، وـكـذـلـكـ التـبـؤـ بـتـأـثـيرـ اـرـتـاقـ وـانـخـفـاضـ مـنـاسـبـ الـمـيـاهـ جـوـفـيـةـ فـيـ الـمـنـطـقـةـ، وـمـدـىـ تـأـثـيرـهاـ عـلـىـ قـيـمـ الـاجـهـادـاتـ الـتـيـ تـعـرـضـ لـهـاـ التـرـبةـ.

جيولوجية منطقة الدراسة Geology of the studying Area

ت تكون تربة بييجي من تعرية للصخور الرسوبيّة الناتجة من التكوينات الأقدم وتحتوي على الحصى ، الرمل والغرين والطين وتنظر بشكل مراوح فيضية والمتمثلة بترسبات العصر الرباعي الناتجة من تعرية سلسلة جبال مكحول ، وأهمها صخور عصر المايوسين والمتمثلة بالصخور الجبسية والصخور الجيرية والطينية لتكوين الفتحة والصخور الرملية والطينية لتكوين إنجانة ينكشف تكوين الفتحة وإنجانة على الجناح الجنوبي الغربي للطية، من الناحية الطوبغرافية يبدو الموقع بشكل عام كمنطقة مستوية، يتخللها تموح بسيط للغاية إلى الشرق من الموقع على مسافة حوالي 3.5 كم يوجد جبل مكحول، تعدد طية مكحول المحدبة التي تحد منطقة الدراسة من الشرق والشمال الشرقي من نطاق (فالوق مكحول - حمرین الإقليمي) ، وفي الوقت نفسه فإن هذه الطية تمثل جزءاً من الحد الجنوبي الغربي لنطاق الطيات الواطئة (Jassim and Goff, 2006). الشكل(2) يمثل خارطة العراق التكتونية.



الشكل 2. يمثل خارطة العراق التكتونية .(Fouad, 2015)

المواد والطرق العمل Methodology

تم نمذجة ثلاثة مواقع وسجلت الإحداثيات لها باستخدام جهاز (GPS) كذلك هُيئت كافة الأدوات الحقلية اللازمة من شريط قياس لحساب سمك التربسات، تم الحفر بوساطة حفار هايدروليكي (بوكللين) جمعت نماذج مخلدة و أخرى غير مخلدة (بشكل كتل) وعلى أعمق تراوحت بين (1.5-2.7 م)، تضمن العمل المختبري إجراء الفحوصات المختبرية، بعد تهيئه النماذج الخاصة بها شملت الفحوصات الفيزيائية فحص الوزن النوعي وفق المواصفة الأمريكية (ASTM D422-63, 2014) والتحليل الحجمي بصنفيه المنخي والرطب وفق المواصفة الأمريكية (ASTM D854-14, 2014)

فحص حدود القوام (حدود اتربيرك) وفق المعاصفة الأمريكية (ASTM D4318-10, 2007)، وحساب محتوى الرطوبة وفق المعاصفة (ASTM D2216-10, 2010) الشكل (3) يوضح العمل الحقلـي.



الشكل 3. يوضح العمل الحقلـي في منطقة الدراسة.

اما الفحوصات الهندسية فتضمنت فحص القص المباشر للترابة Direct shear test for soil وفق المعاصفة الأمريكية (ASTM, D 3080-03)، وشمل هذا الفحص قياس مقاومة قص الترابة (shear strength of soil) من خلال إيجاد عناصر المقاومة القصبة للترابة والمتمثلة بزاوية الاحتكاك الداخلي (ϕ) angle of internal friction ومقاومة التماس cohesion resistance وفحص الانضمام Cohesion test وفق المعاصفة الأمريكية (ASTM D2435-11, 2011) لغرض حساب Coefficient of Consolidation (O.C.R.) Over Consolidation Ratio و دليل الانتفاخ Swelling Index ونسبة الأفراط بالانضمام (ratio) Chemical analyses وضغط الانضمام المسبق Pre Consolidation pressure، اما التحاليل الكيميائية matter percentage of organic matter percentage of gypsum للترابة التي تشمل نسبة الجبس percentage of gypsum، نسبة المواد العضوية percentage of organic material، التوصيلية الكهربائية electrical conductivity (EC)، ومحتوى الكلوريدات bicarbonates، ومحتوى الكلوريدات Conductivity bicarbonates and chlorides، تم إجراء تحليل العناصر الموجبة والسلبية الرئيسية والثانوية والأسماء الهيدروجيني والتوصيلية الكهربائية والأملاح الذائبة الكلية للنماذج المائية المأخوذة من مياه الآبار.

الفحوصات الفيزيائية

المحتوى الرطبوـي (M%)

يعبر محتوى الرطبوـي عن النسبة المئوية للماء الموجود في نموذج الترابة، وبمعنى اخر هو نسبة كتلة الماء (Mw) إلى كتلة الحبيبات او المادة الصلبة (Md) في كتلة الترابة (Abboud, and Zarrak, 2015) والجدول (1) يوضح قيم محتوى الرطبوـي.

$$M\% = [(M_2 - M_3)/(M_3 - M_1)] \times 100 \dots \dots \dots (1)$$

حيث ان: -

حيث يمثل (W%) محتوى الرطوبة.

(M2) كتلة الاناء مع التربة الرطبة بوحدات gm.

(M3) كتلة الاناء مع التربة الجافة بوحدات gm.

(M1) كتلة الاناء فارغ بوحدات gm.

تراوحت قيم المحتوى الرطوبى بين (5.84 - 4.412)

الجدول 1: يوضح قيم محتوى الرطوبة لموقع لمنطقة الدراسة.

No	Sampling depth(m)	Moisture Content W%
ST1	1.85	5.84
ST2	1.5	4.412
ST3	2.7	5.37

الوزن النوعي (GS)

يعبر عنه بنسبة وزن او كتلة من حجم مادة الى وزن او كتلة نفس الحجم من الماء في درجات حرارة معينة عند درجة حرارة (20°C), 2014 ASTM D854-14 ويحسب من خلال المعادلة:

$$(G_s)(at T_1 C^\circ) = \frac{W_3}{(W_1 + W_3) - W_2} \dots \dots \dots \dots \dots \dots \dots \quad (2)$$

حيث ان:

(G_s) = الوزن النوعي بدرجة حرارة التجربة .

W_1 = وزن القنينة الحجمية + وزن الماء الى حد (500 ml).

W_2 = وزن الماء + وزن القنينة + وزن التربة.

W_3 = وزن النموذج الجاف.

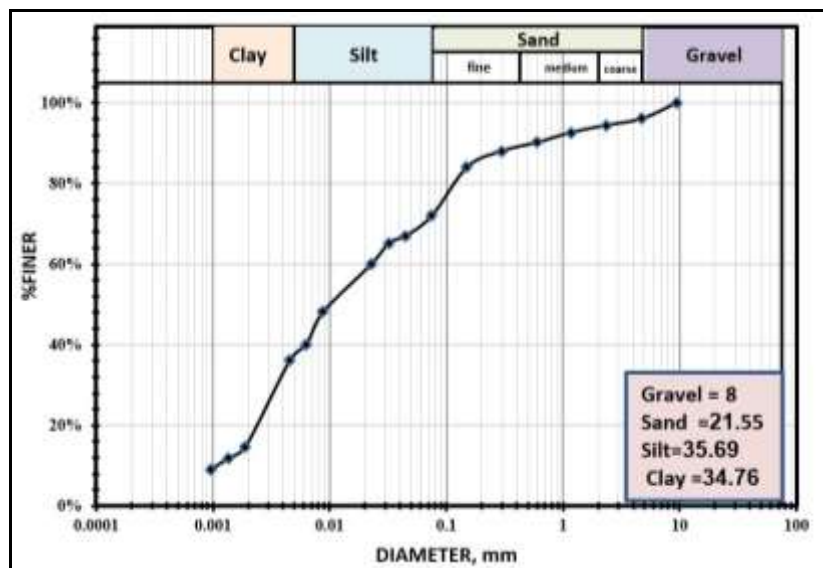
تراوحت قيم الوزن النوعي بين (2.69-2.65).

الجدول 2: يوضح قيم الوزن النوعي لموقع منطقة الدراسة وتصنيفها حسب Das, M. Braja., 1982.

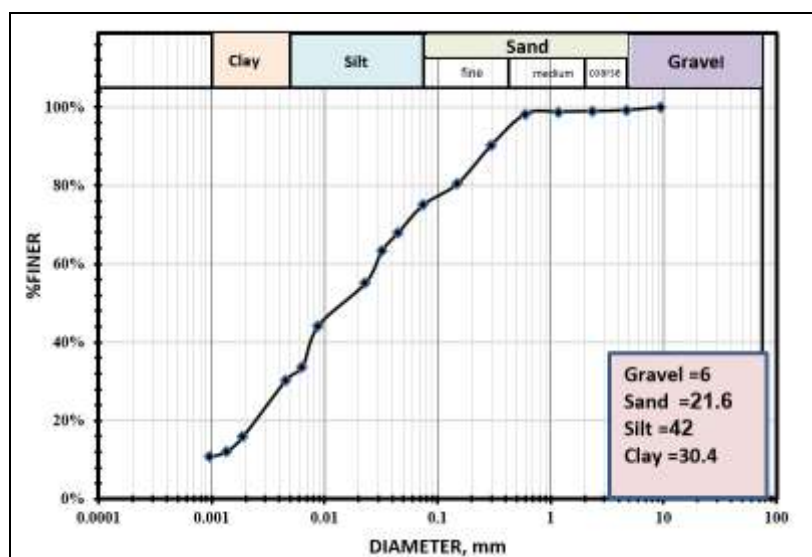
NO	Sampling depth(m)	specific gravity	Soil Type
ST1	1.85	2.67	Silty Clay
ST2	1.5	2.65	Silt
ST3	2.7	2.69	Silty Clay

التحليل الحجمي Grain size analysis

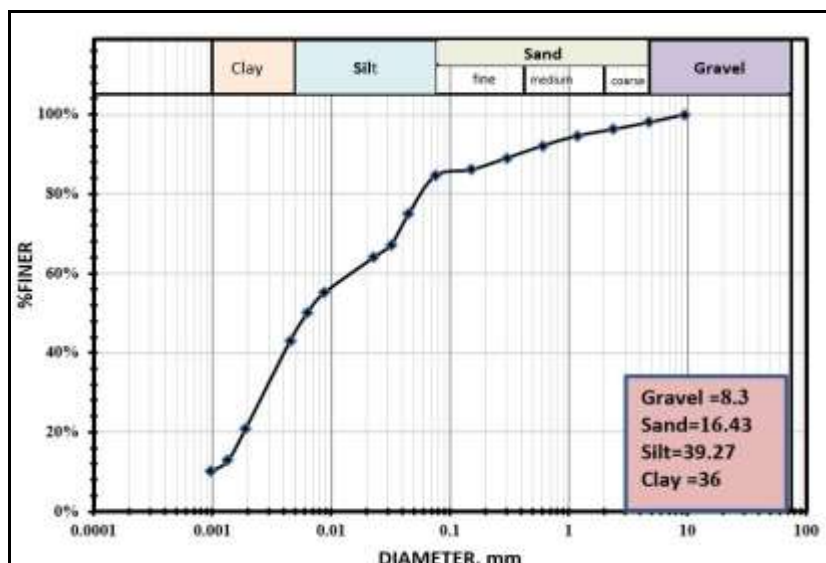
يتضمن التحليل المنخلي فصل الحبيبات الخشنة مثل الحصى والرمل إلى حجوم مختلفة بالتحريك اليدوي أو الميكانيكي والذي يحدد من خلال وزن التربة على مجموعة من المناخل ذات الفتحات القياسية ووفق المعاصفة ASTM D422-63 (Reapproved 2007), 2014 يستخدم لفحص الحبيبات ذات الإحجام الأكبر من (0.075mm) والاشكال (6,5,4) تبين التحليل الحجمي لنزرة منطقة الدراسة والجدول (4) يبين نتائج التحليل الحجمي وتصنيفها.



الشكل 4. منحنى التحليل الحجمي التراكمي لنزرة المحطة الأولى.



الشكل 5. منحنى التحليل الحجمي التراكمي لنزرة المحطة الثانية.



الشكل 6. منحنى التحليل الحجمي التراكمي لنزرة المحطة الثالثة.

حدود اتربيك Atterberg Limits

أن أول من وضع حدود القوام للطربة هو العالم أتريبيرك، وسميت تلك الحدود باسمه أو حدود القوام (Consistency Limits)، وتعرف بأنها المحتوى الرطبوبي للطربة الذي تتنقل فيه الطربة من حالة إلى أخرى (Al-Ashw, 1991) وتصنف الطربة حسب مخطط اللدونة كما في الشكل (7). ومن خلال الفرق العددي بين حد السيولة وحد اللدونة يمكن حساب معامل اللدونة Plasticity Index، ويدل على المحتوى المائي الذي تبقى فيه الطربة في الحالة اللينة والنتائج في الجدول .(3)

حيث ان:

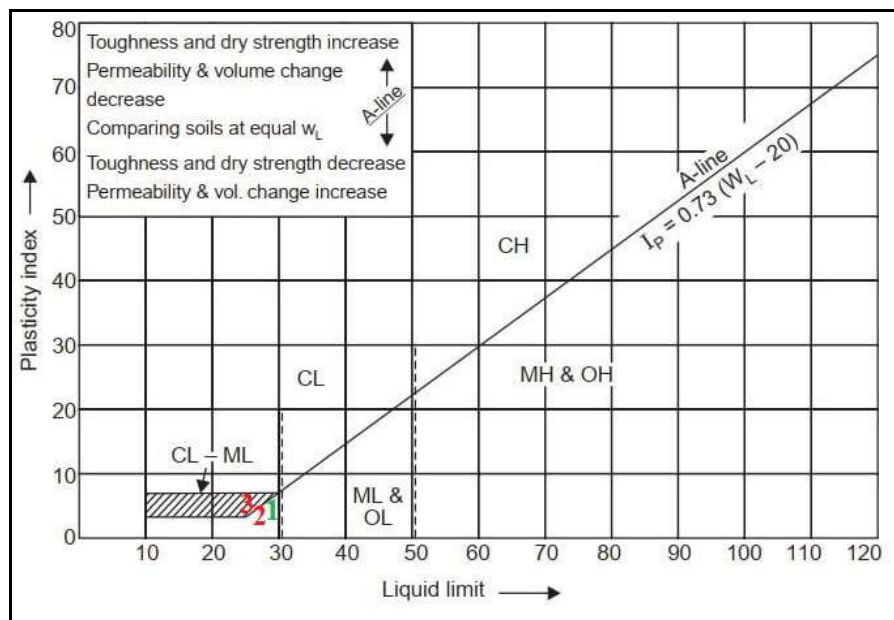
$PI = \text{معامل اللدونة}$.

$LL = \text{حد السيولة}$.

$PL = \text{حد اللدونة}$.

جدول 3: يوضح نتائج قيم حدي السيولة واللدونة بالإضافة إلى دليل اللدونة لطربة لنماذج منطقة الدراسة وتصنيفها حسب (Das, 2010).

NO	P. L	LL	P. I	Classification Soil
ST1	25.78	29	3.22	Slightly plastic
ST2	25.09	27.65	2.66	Slightly plastic
ST3	24	28	4	Slightly plastic



الشكل 7. تصنيف طربة محطات منطقة الدراسة حسب مخطط اللدونة.

الجدول 4: جدول نتائج التحليل الحجمي وتصنيفها حسب التصنيف الموحد (USCS) لطربة منطقة الدراسة.

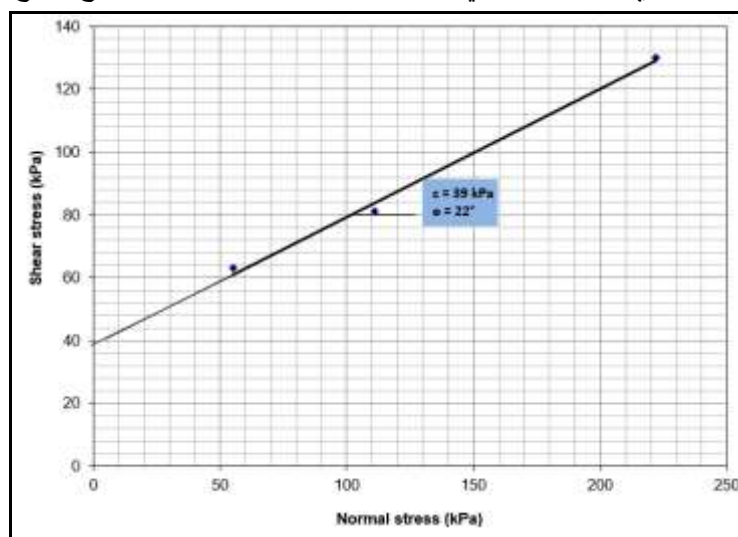
N0	Plastic limit	Liquidity limit	Plasticity Index	Gravel ratio%	Sand ratio%	Clay ratio%	Silty ratio%	Classification Soil
ST1	25.78	29	3.22	8	21.55	34.76	35.69	ML
ST2	25.09	27.75	2.66	6	21.6	30.4	42	ML
ST3	24	28	4	8.3	20.43	32	39.27	CL- ML

الفحوصات الهندسية Engineering Tests

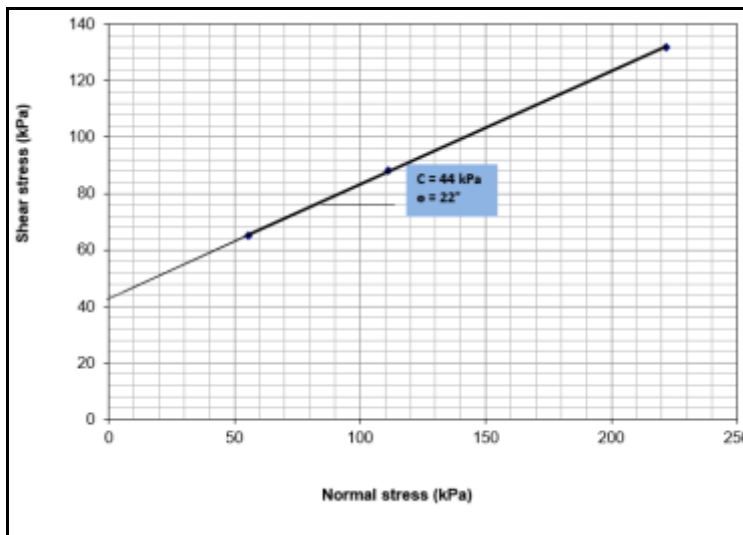
فحص القص المباشر Direct Shear Test

يُعرف فحص القص للطربة، بأنه عملية انزلاق جزء محدد من كتلة الطربة فوق جزء آخر منها، أما بالنسبة لمقاومة القص فهي عبارة عن القوة التي تبديها الطربة ضد الانزلاق الذي يحصل داخلها نتيجة نقل خارجي مسلط عليها، تنشأ قوة مقاومة القص في داخل الطربة ويرجع سببها إلى الضغط المباشر المسلط عليها، ويتجاوز ذلك الاجهاد الحد الأقصى لقو

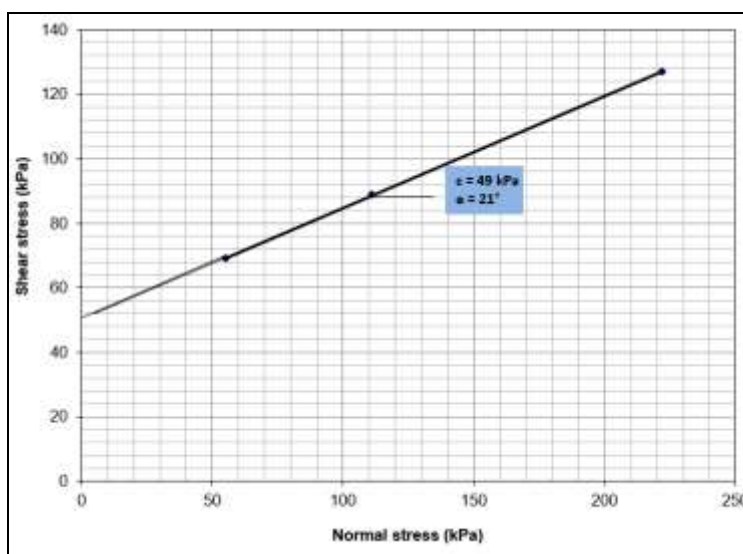
القص، يسبب في البداية تحريك أو انزلاق لحببيات التربة بعضها على البعض (Majeed, 2004) والاشكال (8, 9, 10) توضح العلاقة بين الإجهاد العمودي والإجهاد القصي من خلال فحص القص المباشر لنماذج موقع الدراسة.



الشكل 8. العلاقة بين الإجهاد العمودي والإجهاد القصي من خلال فحص القص المباشر لتربة المحطة الأولى.



الشكل 9. العلاقة بين الإجهاد العمودي والإجهاد القصي من خلال فحص القص المباشر لتربة المحطة الثانية.



الشكل 10. العلاقة بين الإجهاد العمودي والإجهاد القصي من خلال فحص القص المباشر لتربة المحطة الثالثة.

الجدول 5: يوضح نتائج فحص القص المباشر لنماذج موقع الدراسة.

NO	\emptyset	C (kpa)
ST1	22	39
ST2	22	44
ST3	21	49

فحص الانضمام Consolidation Test

يعرف الانضمام على انه التلاصق الذي يحدث في حجم التربة المشبعة، بسبب دفع الماء وأزاحته من الفراغات داخلها نتيجة تأثير الاحمال الخارجية المسلطة عليها، كالأبنية المقاومة وغيرها، ولعدم قابلية التربة من التمدد تحت الأبنية لانحسارها فأن نقصان حجم التربة (الانضمام) يحدث بالاتجاه العمودي بصورة أساسية (Al-Ashw, 1991) ، يحدث الهبوط للتربة عندما تتعرض الى إجهادات الاسس المقاومة عليها، ويكون هذا الهبوط ليس مناً وناتجاً عن انضغاط أعمدة الفولاذ أو الخرسانة الكونكريتية أو الانزلاق في المسافات الفراغية، الاشكال(11، 12، 13) توضح مخطط فحص الانضمام. ومن خلال هذا الفحص تم إيجاد الخواص الآتية الجدول (6):

نسبة الفراغات (e) يقصد بها حجم الفجوات إلى حجم المادة الصلبة (Al-Ashw., 1991) ، وهي دلالة على كثافة التربة وتحسب من العلاقة التالية:

$$e = \frac{\Delta H}{H_s} \quad \dots \dots \dots \quad (4)$$

دليل الانضغاط C_c Compression Index

يستخدم لحساب انضمام التربة عند تعرضها للأحمال اثناء الانشاء المتوقع، يعبر عن دليل الانضغاط بانحدار منحنى العلاقة التي تربط بين نسبة الفراغات ولوغاريتم الضغط ($\log p$). يتم حساب معامل الانضغاط وفق المعادلة التالية .(Wilum & Starzewski.,1975)

$$C_c = \frac{e_2 - e_1}{\log \left(\frac{P_2}{P_1} \right)} \quad \dots \dots \dots \quad (5)$$

دليل الانتفاخ C_r Swelling Index

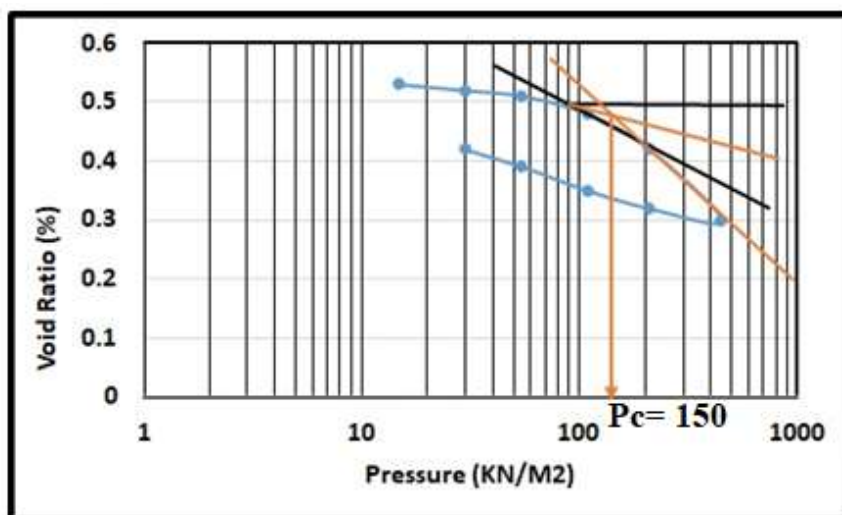
يقصد به ميل منحنى الانتفاخ الذي يكون من النوع غير الخطى أو هو يمثل مقاييس التزايد في حجم التربة في حال رفع الاجهاد عن العينة (Al-Ashw, 1991) يتم استخراجه حسابياً من المعادلة:

$$C_r = \Delta e / \Delta \log p \quad \dots \dots \dots \quad (6)$$

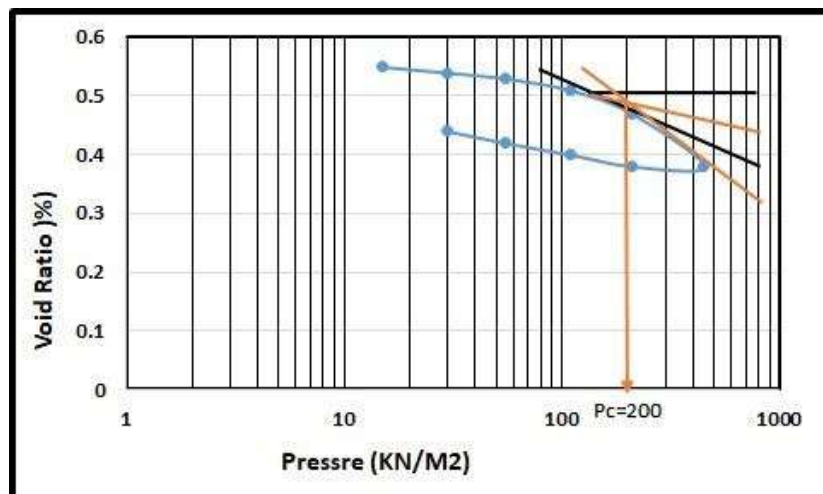
ضغط الانضمام المسبق P_c Preconsolidation pressure

يمثل اعلى ثقل سبق وان تم تسليطه على التربة وتعتبر قيمة ضغط الانضمام المسبق ذات فائدة كبيرة في معرفة التاريخ الجيولوجي للترابة (Capper and Cassie.,1974).

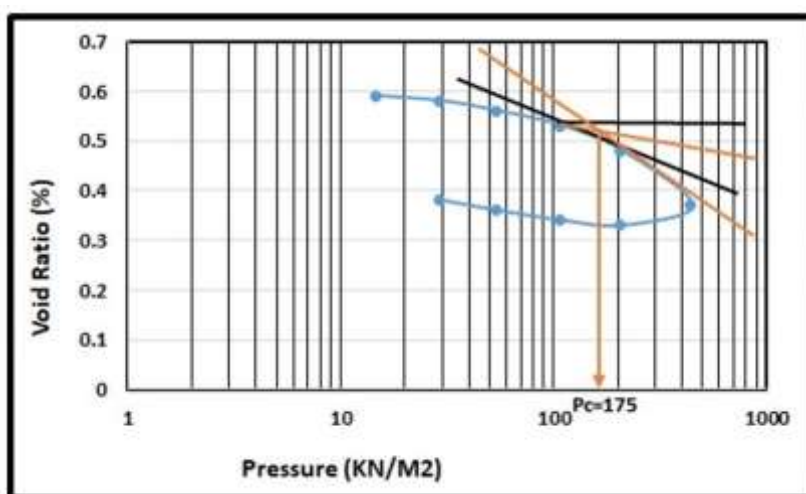
$$O.C.R = \frac{P_c}{P_o} \quad \dots \dots \dots \quad (7)$$



الشكل 11. يوضح مخطط فحص الانضمام لتربة المحطة الاولى.



الشكل 12. يوضح مخطط فحص الانضمام لتربة المحطة الثانية.



والشكل 13. يوضح مخطط فحص الانضمام لتربة المحطة الثالثة.

الجدول 6: يوضح نتائج فحص الانضمام.

NO	Depth (m)	γ_d kN/m³	Cc	Cr	E	P_o kN/m²	Pc	OCR
ST1	1.85	13	0.114	0.043	0.77	24.05	150	6.237
ST2	1.5	13.3	0.147	0.0382	0.760	19.95	200	10.025
ST3	2.7	14.7	0.236	0.0186	0.739	39.69	175	4.409

التحاليل الكيميائية

الخواص الكيميائية للترابة تعد عاملًا مهمًا جداً في معرفة التصرف الكيميائي لها ومدى تحملها للعوامل الخارجية المؤثرة عليها كعمليات التعرية والتجوية. والجداول (9,8,7) توضح نتائج التحاليل الكيميائية للترابة.

الجدول 7 : يمثل نتائج محتوى الجبس وتصنيف الترب الجبسية اعتماداً على AL-Barazanji A. F., Gypsiferous (9,8,7) وقيم pH وتصنيفها بالاعتماد على Ryan,2003 لبعض نماذج منطقة الدراسة.

NO	GYP%	Classification	pH	Classification	TDS PPm
ST1	28.4	عالية الجبسية	7.91	متعادلة الكلورية	2930
ST3	25.82	عالية الجبسية	8.01	متعادلة الكلورية	3260

الجدول 8 : نتائج نسبة الكلوريدات والماء العضوية لبعض نماذج منطقة الدراسة.

NO	O.M	Cl (meq/l)
ST1	1.09	3.20
ST3	1.16	2.00

الجدول 9 : يبين نتائج ايون البيكاربونات والكبريتات والتوصيلية الكهربائية لبعض نماذج منطقة الدراسة.

NO	HCO ₃ (meq/l)	EC at 25°	SO ₄ %
ST1	3.00	4.90	19.16
ST3	2.81	4.41	4.71

حساب الإجهادات الكلية والمتعادلة والفعالة

Calculate total, neutral and effective stresses

إن وجود المياه الجوفية في التربة يمكن أن يقلل من قابلية تحمل التربة والتي تعد من الخصائص الهندسية للترابة وهي تحدد قابلية تحمل التربة للانتقال الخارجي المسلط على التربة ومدى الهبوط الذي يحصل فيها بسبب الطريقة التي تؤثر بها المياه على معاملات القص، وهي التنسك وزاوية الاحتكاك الداخلي (Al-Dulaimi and Al-Shabani, 2020). إن أحد الغايات لهذه الدراسة هو الهبوط الأرضي المحتمل الناتج عن سحب المياه الجوفية أو تذبذب مناسيبها، ولا يمكن تحليل هذا الهبوط من دون معرفة الإجهادات داخل التربة والتغير في هذه الإجهادات عند تغير رطوبة التربة، إذ يلعب الماء الموجود داخل التربة دوراً مهماً في حساب هذه الإجهادات، وإن أي حمل يسلط على التربة سيتوزع على حبيبات التربة والماء الموجود في الفجوات، كذلك فالماء لا يسهم بتحمل أي نسبة من هذا الحمل عندما تكون التربة غير مشبعة أما عندما تكون التربة مشبعة فإن الماء داخل الفجوات سيتحمل جزءاً من هذا الحمل، لذا تغير الإجهادات داخل التربة عند سحب المياه الجوفية والموضحة طريقة حسابها في ادناه (Al-Ashw, 1991). في هذه الدراسة تم حساب الإجهاد الكلي σ_t والإجهاد المتعادل u او ضغط الماء المسامي Neutral stress u وضغط الماء المسامي Pore water pressure حيث تم افتراض تذبذب منسوب الماء الجوفي على عمق (3) و(7) م.

الجدول 10 : نتائج حساب الإجهادات لترابة المحطة الأولى.

depth (m)	σ_t KN/m ²	U KN/m ²	σ_u KN/m ²
1	24.06	0	24.06
2	50.05	0	50.05
3	89.05	0	89.05
4	141.05	10	131.05
5	206.05	30	176.05
6	284.05	60	224.05
7	375.05	100	275.05

الجدول 11: نتائج حساب الاجهادات لتربة المحطة الثانية.

depth (m)	σ_t KN/m ²	U KN/m ²	σ^- KN/m ²
1	19.95	0	19.95
2	46.55	0	46.55
3	86.45	0	86.45
4	139.65	10	129.65
5	206.15	30	176.15
6	285.95	60	225.95
7	379.05	100	279.05

الجدول 12: نتائج حساب الاجهادات لتربة المحطة الثالثة.

depth (m)	σ_t KN/m ²	U KN/m ²	σ^- KN/m ²
1	14.7	0	14.7
2	54.39	0	54.39
3	98.49	0	98.49
4	157.29	10	147.29
5	230.79	30	200.79
6	318.99	60	258.99
7	421.89	100	321.89

حساب الهبوط Subsidence calculation

يحصل الهبوط بسبب الانضمام الذي يحدث في طبقة أو طبقات التربة وفي اغلب الأحيان تكون التربة غير متجانسة ومكونة من طبقات مختلفة الخواص والسمك؛ لذلك فمن الضروري حساب الهبوط (Al-Ashw, 1991). تم حساب الهبوط بطريقة دليل الانضغاط (C_e)، فيما أن دليل الانضغاط يمثل ميل منحنى الانضمام، (الشكل5)، وعليه يمكن حساب الهبوط باستعمال دليل الانضغاط. تم حساب الهبوط حسب المعادلة (8) والنتائج موضحة في الجدول (13):

$$\Delta h = \frac{\Delta e}{1 + e_o} \times H(8)$$

الجدول 13: يبين قيم الهبوط الأرضي لمحطات منطقة الدراسة.

Station	subsidence (cm)
1	0.275
2	0.200
3	0.253

هيدروكيميائية المياه الجوفية Groundwater hydrochemical

تضمنت الدراسة إجراء التحليلات الكيميائية للنماذج المائية المأخوذة من 11 بئراً والمتمثلة بالأيونات الموجبة الرئيسية (Major Cations) وتشمل ايونات الصوديوم (Na^+), والبوتاسيوم (K^+), والكلاسيوم (Ca^{++}), والمغنيسيوم (Mg^{++}), وكذلك الأيونات السالبة الرئيسية (Major Anions) وتشمل الكلوريد (Cl^-), والكبريتات (SO_4^{--}), والبيكاربونات (HCO_3^-) إضافة إلى قياس الصفات الفيزيوكيميائية للمياه الجوفية المتمثلة بالتوصيلية الكهربائية (EC) والمواد الصلبة الذائبة الكلية (TDS)، والرقم الهيدروجيني (pH) والنتائج موضحة في الجدول (14).

الجدول 14: يوضح نتائج التحليلات الكيميائية للنماذج المائية.

NO	Ca PPm	Na PPm	K PPm	Mg PPm	Cl PPm	HCO ₃ PPm	CO ₃ PPm	SO ₄ PPm	PH	T.H	EC μc/cm ³	T.D.S mg/l
Well 1	444.6	62.55	3.84	175.5	120.7	82.9	0	1740	7.4	1832.46	3810	3048
Well 2	437	57.08	5.12	198.3	170.4	97.6	0	1820	7.5	1804.50	4560	3648
Well 3	440	106.34	10.55	353	568	97.6	0	2315	7.78	1830.38	8080	6464
Well 4	460.2	68.85	7.26	273.6	426	78.1	0	2005	7.75	1904.97	5250	4200
Well 5	420	63.88	6.62	262.2	145.55	63.4	0	1988	7.65	1738.55	5040	4032
Well 6	448.4	51.92	5.62	214.3	136.2	68.3	0	1743	7.72	1852.49	4160	3328
Well 7	456	83.64	9.89	319.2	816.5	73.2	9.6	2190	7.64	1894.33	6450	5160
Well 8	456	69.04	7.64	234.8	227.2	78.1	0	1860	7.7	1888.70	4580	3664

Well 9	460	83.52	9.26	296.4	2982	73.2	0	2010	7.58	1909.15	6010	4808
Well 10	494	93.88	6.56	330.6	745.5	63.4	0	2065	7.37	2041.80	5490	4392
Well 11	415	64.12	5.22	228	355	73.2	0	1840	7.8	1714.55	5400	4320

وعند مقارنة تركيز المواد الصلبة الذائبة الكلية في المياه الجوفية جدول (14) في منطقة الدراسة، مع تصنيف (Todd, 2005)، وجد أن مياه منطقة الدراسة هي Brakish Water، وحسب تصنيف المياه اعتماداً على قيم العسرة الكلية (Todd, 2005). وجد أن مياه منطقة الدراسة هي من النوع العسر جداً (Very Hard)، وتصنف المياه حسب قيمة Davis and Dewiest 1996 pH 3.85 - 14.85.

تأثير المياه على خواص التربة The effect of water on soil properties

ان وجود الجبس في التربة بكميات عالية يؤدي الى حدوث مشاكل كبيرة عند تعرضها للتغير في نسب المحتوى الرطبوبي بسبب تذبذب منسوب الماء الجوفي او بسبب تسرب الماء اليها حيث يؤدي الى اذابه جزء من المحتوى الجبسي فيها وتزداد المسامات الموجودة في التربة كما ان مقاومة القص قد تختزل أيضاً بسبب هذه العملية ويؤدي ذلك الى ظهور التشققات و هبوط التربة تحت الأحمال المسلطه فوقها، لذلك من الضروري تحديد منسوب المياه الجوفية قبل وبعد انشاء المنشآ (Abdel Ghaffar, 2015) تراوحت مناسبات المياه الجوفية للأبار في منطقة الدراسة بين (14.85 - 3.85). ان منسوب المياه الجوفية في المنطقة عال فإذا ما تواجدت التربة الجببية ووصلت اليها المياه الجوفية فإن هذا الامر سيؤدي الى ذوبان الجبس وبالتالي سيؤدي الى مشاكل للمنشآت، كانت نسبة TDS والجبس لنماذج المحيطات عالية جدول (14).

إن النسبة المئوية للكلوريدات ذات تأثير على الترب التي تحتويها فمن نتائج الفحص لنماذج وجد بأن نسبة الكلوريدات عالية كانت أكبر من (0.1) وهي نسبة تشكل خطورة على الأسس التي تعلوها فلابد من مراعاة ذلك عند المباشرة بالتصميم فيجب استعمال طبقة واقية للخرسانة بسمك (5- 15) سم حول الأسس تتعرض المنشآت الهندسية القائمة على تربة حاوية على معادن قابلة للذوبان الى مخاطر مختلفة، حيث تكون ذات تأثير تدميري على مواد البناء الداخلية في الانشاء والتي تؤدي إلى تدهور مؤثر في صفاتها وان الجبس يمكن أن يؤدي فعله التدميري فقط عند ذوبانه في المياه الجوفية ووقوعه على المنشآت الهندسية.

المشاكل التي تسببها الترب الجببية Problems of gypsumiferous soils

من المعروف بأن الجبس يُعد من المعادن القابلة للذوبان بالماء وعادة يوجد بهيأة بلورات متفرقة في الفراغات ما بين الحبيبات المكونة للتربة ويكون سانداً لها وأن ذوبانها يسبب زيادة نسبة الفراغات في التربة، كما يزداد تركيز Ca^{+2} و SO_4^{-2} في مياه التربة، إن وجود الجبس بنسبة عالية يؤدي الى مشاكل هندسية Engineering problems تتعرض المنشآت الهندسية القائمة على تربة حاوية على معادن قابلة للذوبان الى مخاطر مختلفة، حيث تكون ذات تأثير تدميري على مواد البناء الداخلية في الانشاء والتي تؤدي إلى تدهور مؤثر في صفاتها وان الجبس يمكن أن يؤدي فعله التدميري فقط عند ذوبانه في المياه الجوفية ووقوعه على

تماس مباشر مع بعض عناصر البناء، حيث تؤدي الى تكون التشقوق، ازالة جزء من الاسمنت إضافة الى تأكل حديد التسليح وتقشير الطلاء خاصة عند وجود تراكيز عالية من الكبريتات والكلوريد (Olorunfemi and Adeleke, 2017). من ناحية اخرى فعندما تترشح مياه الأمطار الى اسس التربة الحاوية على الجبس فأنها تسبب في ذوبانها ونشوء فجوات بين حبيبات التربة تكون في بعض الأحيان على شكل كهوف يتبعها حدوث هبوط منتظم او غير منتظم او ميلان المنشآ يعرف بالهبوط التفاضلي (Majbel, 2023) (Differential settlement)، بلغ تركيز Ca^{+2} لمياه الآبار في منطقة الدراسة بين (460.2 - 494 ppm) (ppm 1740 - 2315) جدول (14).

الاستنتاجات Conclusion

1. أوضحت نتائج فحص القص المباشر ان التربة هي من النوع المتماسك.

تقييم الخصائص البيوتكنيكية لترابة موقع محطة كهرباء بيجي الغازية الثالثة ومسار الخط الاستراتيجي وتأثير التنبذب في منسوب المياه.....

2. تعكس القيمة القليلة للفراغات طبيعة التربة في منطقة الدراسة كونها تربة ناعمة ومترادفة بسبب تقارب الحبيبات مع بعضها البعض.
3. بينت نتائج فحص الانضمام ان دليل الانضغاط للتربة قليل بسبب قلة الفراغات ودليل انتفاخ متفاوت وان التربة مفرطة الانضمام .R.C.O
4. قيم Subsidence متقاربة لتجانس تربة منطقة الدراسة.
5. أن التربة في منطقة الدراسة هي عبارة عن تربات حديثة متمثلة بالسهل الفيضي والتي تكون ذات نفاذية عالية وان هذه التربة تمثل بيئه مناسبه لحدوث الهبوط الأرضي عند عملية سحب المياه الجوفية.
6. وجد أن مياه منطقة الدراسة هي (brackish water) وصنفت هذه المياه على إنها عسرة جداً (Very Hard).
7. وجود تراكيز عالية من أيونات الكالسيوم في المياه وهذه نتيجة عملية اذابة الجبس وكربونات الكالسيوم والدولومايت او المعادن الطينية الموجودة في تربة منطقة الدراسة.

شكر وتقدير Acknowledgements

تتقدم الباحثة بالشكر الى كل من مد يد العون لي والى السادة المقيمين الافضل ورئيس تحرير المجلة المحترم والعاملين فيها.

المصادر References

- Abboud, M.R. and Ghazi A.Z., 2015. Practical Applications in Engineering Geology, Baghdad, Dar Al-Kutub and Documents, 153 P. <https://iraqnla.gov.iq/opac/fullrecr.php>.
- Abdel Ghaffar, I.M., 2015. The Impact of Environmental Factors on Buildings, Supplementary Research Submitted for a Master's Degree in Civil Engineering, Construction Engineering, Sudan University of Science and Technology.
- Al-Ashw, M.O., 1991. Principles of Soil Mechanics, Dar Al-Kutub for Printing and Publishing, University of Mosul, 547 P. <https://doi.org/10.1002/9781394192250.ch2>
- AL-Barazanji A.F., 1973. Gypsiferous Soils of Iraq, Ph. D Thesis, University of Ghent Belgium.
- Al-Rashdi, M.H., 2004. Geotechnical Assessment of the Soil of Al-Qadisiyah Governorate-Iraq, MSc. Thesis, Unpublished, University of Baghdad, College of Science.
- ASTM D2216-10, 2010. Standard Test Methods for Laboratory Determination of Water (Moisture) Content of Soil and Rock by Mass.
- ASTM D2435-11, 2011. Standard Test Methods for One-Dimensional Consolidation Properties of Soils Using Incremental Loading.
- ASTM D422-63, 2014. Standard Test Method for Particle-Size Analysis of Soils, American Society.
- ASTM D4318-10, 2007. Standard Test Methods for Liquid Limit, Plastic Limit, and Plasticity Index of Soils.
- ASTM D854-14, 2014. Standard Test Methods for Specific Gravity of Soil Solids by Water Pycnometer¹, American Society for Testing Materials, West Conshohocken, Pennsylvania. <https://doi.org/10.1520/d0854-23>
- ASTM, D 3080-03, 2004. Standard Test Method for Direct Shear Test of Soils Under Consolidated Drained Conditions.
- Capper, P.L. and Cassie, 1974. The Mechanics of Engineering Soil, Willey and soil, (5th Ed.). E & F.N. Spon. Ltd., London, UK. 309 P.

- Das, B.M., 2010. Principles of Geotechnical Engineering 7th Ed., USA, Cengage learning.
- Das, M.B., 1982. Soil Mechanics Laboratory Manual, The University of Texas at El Paso.
- Davis, S.N., and De Wiest, R.J. 1966, Hydrogeology, John Wiley and Sons, Inc. New York, 463 P.
- Fouad, S.F.A., 2015. Tectonic Map of Iraq, Scale 1: 1000 000, 3rd Edition, 2012, Iraqi Bulletin of Geology and Mining, 11(1), 8 P.
- Jassim, S.Z. and Goff, J.C., 2006, Geology of Iraq Dolin, Prague and Moravian Museum, Brno, Czech Republic, p:1341.
<https://books.google.iq/books?id=LLH8aygMJFwC&printsec=frontcover&hl=ar>
- Khalaf, H.A., Al-Dulaimi, S.M. Al-Shabani H., 2020. Geotechnical Information and Engineering Project Planning (Applied Study) First Edition, Dler Printing and Publishing-Baghdad 384 p.
- Majbel, H.R., 2023. Precipitation Behavior - Load for Three Forms of Foundations Based on Manufactured Gypsum Soils, Master Thesis, College of Engineering, Diyala University.
- Majeed, N., 2004. Study of the Geotechnical Properties of Gypsum Soils in Selected Sites in the City of Kirkuk, Unpub. PhD Thesis, University of Baghdad – College of Science.
- Olorunfemi, K.O., Ibiwoye, E.O. and Adeleke D.J., 2017. Assessment of the Effect of Underground Water on Civil Engineering Structures (A Case Study of Gaa-Odota Ilorin) Technology (ICONSEET), 2(21): 161-167, 2017. ISSN 0794-9650.
https://www.repcomseet.org/doc/21_Olorunfemi%20Assessment%20of%20the%20Effect.pdf
- Ranjan, G. and Rao, A.S.R., 2016. Basic and Applied Soil Mechanics. New Age International. pp. 478-479. <https://g.co/kgs/a2mt3kz>
- Ryan, J., Stephen, G. and Abdul Rashid, 2003. Soil and Plant Analysis Laboratory Manual, Aleppo, Syria, first edition in Arabic published jointly by the International Source for Agricultural Research in the Dry Areas (ICARD) and the National Agricultural Research Foundation, available at ICARD.
- Todd, D. K., 2005. Groundwater Hydrology (3 edition). John Wiley and Sons New York, USA, 652 P. https://www.scribd.com/document/530473687/todd-Mays._
- Wilun, Z. and Starzewski, K, 1975. Soil Mechanics in Foundation.
<https://www.amazon.com/Soil-Mechanics-Foundation-Engineering-v/dp/0903384140>